

Д.Г. Гукасян

ОСОБЕННОСТИ СОСТАВА СОСУЩЕСТВУЮЩИХ ПИРОКСЕНОВ
ВЕРХНЕПЛИОЦЕН-ЧЕТВЕРТИЧНЫХ ВУЛКАНИТОВ АРАГАЦКОГО КОМПЛЕКСА

Пироксены являются главнейшими темноцветными породообразующими минералами Арагацского вулканического комплекса и представлены как моноклинной, так и ромбической разновидностями. Распределение их в различных типах и разновидностях пород далеко не одинаковое: оно колеблется в более или менее значительных пределах в зависимости от видового и химического составов других минеральных фаз и порядка их кристаллизации.

Вкрапленники пироксенов повсеместно представлены призматическими или изометрическими кристаллами, обычно лишенными зональности. Величина зерен клинопироксенов в разных типах пород варьирует от 0,5 до 0,9 мм, а ортопироксенов — от 0,4 до 0,8 мм в среднем. В порфировых разностях лав основного состава содержание фенокристаллов клинопироксена не превышает 8,0%, ортопироксена — 2,5%; в андезитах их максимальное количество составляет 6,3 и 5,6%, соответственно. В кислых андезито-дацит-дацитовых породах их количество в целом понижается, составляя до 2,5%. Однако иногда наблюдаются отклонения от приведенных цифр и пироксены в породах содержатся в иных количественных соотношениях. Пироксены в вулканитах изученного комплекса представлены двумя сосуществующими равновесными минеральными фазами — магнезиально-железистого и магнезиально-железисто-кальциевого составов. Отсадка их из расплавов повсюду начиналась на интрапетиурической стадии. Для кислых пород кристаллизация пироксенов в основном ограничивалась этой стадией, и в основной массе пироксены либо отсутствуют, либо содержатся в ничтожном количестве. В расплавах основных и, частично, промежуточных составов она продолжалась и в эфузивную стадию, что привело к обра-

зования значительного количества мельчайших зеринок пироксено-
нов, участвующих в строении основной массы пород. Часто в не-
которых разновидностях пород серпентино-порфирового сложения
выделяются также микропрокристаллы промежуточной (второй) ге-
нерации, отвечающие размерности зерен 0,1-0,25 мм.

Оптические свойства

Ортопироксены. Наиболее важные оптические константы ортопироксенов Араганского комплекса сведены в табл. I. Угол оптических осей ортопироксенов колеблется от 64 до 72°, а показатели преломления варьируют в пределах $N_g = 1,699-1,702$; $N_p = 1,666-1,691$.

По оптическим параметрам изученные ортопироксены относятся к бронзит-тилеритам с колебанием ферросиликатового компонента в пределах 23 - 31%, что хорошо согласуется с данными химизма. На воспроизведенной из сводки У.А.Дира с соавторами /1/ диаграмме зависимости между оптическими свойствами и химическим составом ортопироксенов отчетливо иллюстрируется обратная связь между $2V_{N_p}$ и содержанием ферросиликатового компонента в ряду изученных ортопироксенов (рис. I). На той же диаграмме видно, что значения углов оптических осей ортопироксенов Араганского комплекса в целом высокие, что можно объяснить, по И.Лессу /2/, несколько повышенной концентрацией катионов Ca в их составе, а также высокими температурами их кристаллизации.

В южных и промежуточных породах показатели преломления удовлетворительно соответствуют химическому составу ортопироксенов. Вместе с тем в основных (и частично среднекислых) породах комплекса они значительно более высокие, в целом оставаясь несколько ниже таковых в южных породах. В итоге наблюдается очень слабая прямолинейная зависимость между N_g , N_p и составом изученных ортопироксенов, о чем свидетельствуют пологого наклонные пунктирные линии на диаграмме (рис. I). Причиной такого рода несоответствия может быть входжение различных количеств ионов Al в тетраэдрическую позицию, поскольку известно /3/, что при постоянной железистости входжение чармакитового компонента (или вообще R^{+3}) в состав ортопироксенов эфузивных пород вызывает увеличение показателей преломления. С другой стороны,

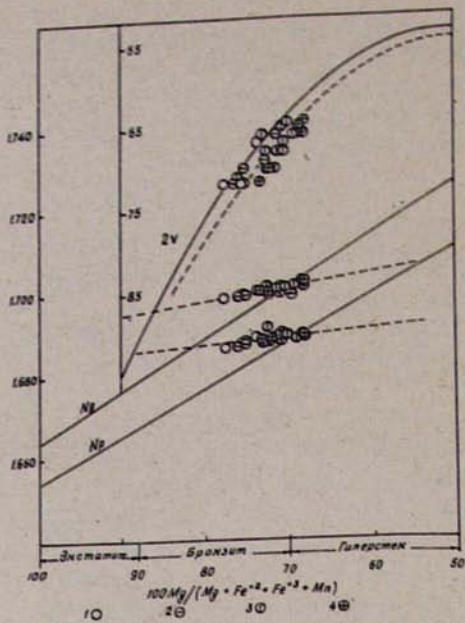


Рис. 1. Зависимость оптических свойств ортопироксенов Арагацкого комплекса от их составов.
I-4 – ортопироксены андезито-базальтов, андезитов, андезито-дацитов и дацитов соответственно.

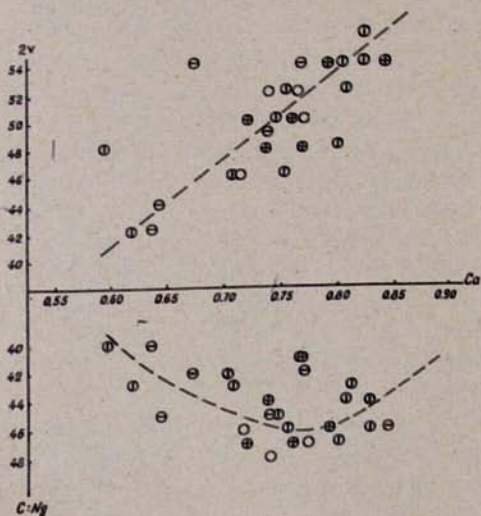


Рис. 2. Зависимость оптических констант клинопироксенов Арагацкого комплекса от их кальциевости. Условные знаки те же, что и на рис. 1.

многими исследователями /1,4,5,6/ твердо установлена положительная корреляционная связь между Σg , Nr и Fe^{+3} в ортопироксенах. Влияние Al на Σg и Nr последовательно уменьшается в ортопироксенах данного комплекса в направлении от основных пород к южным по мере снижения содержания ионов Al^{IV} (табл. 1,3). Данные табл. 1,3 свидетельствуют о том, что в связи с возрастанием Fe^{+2} в составе ортопироксенов от андезитобазальтов к дайкам возрастают также показатели преломления. Итак, отмеченная выше слабая зависимость между показателями преломления и составом ортопироксенов в изученном ряду объясняется суммарным влиянием ионов Fe^{+2} (имеющих тенденцию к повышению) и Al^{IV} (обнаруживающих тенденцию к снижению) в ходе эволюции составов ортопироксенов.

Клинопироксены. Намного более сложна картина зависимости между оптическими свойствами и химическим составом клинопироксенов. Из данных табл. I видно, что вариации величин $2V$ и $C:Ng$ клинопироксенов из различных пород комплекса довольно значительны ($42\text{--}56^\circ$ и $40\text{--}48^\circ$ соответственно), тогда как Σg и Nr колеблются в относительно узких пределах (1,712–1,718 и 1,666–1,691). Колебание оптических констант клинопироксенов различных типов пород отражено в табл. 2.

Как видно из приведенных данных, наименьшие вариации значений $2V$ обнаруживают клинопироксены крайних членов комплекса, а в клинопироксенах андезитов сравнительно устойчив $C:Ng$. Клинопироксены андезито-дайков обнаруживают практически предельные вариации всех оптических величин, что согласуется с наибольшей вариацией их химического состава, иллюстрируемой на диаграмме (рис. 3). Из сопоставления вариаций $2V$ и химических составов клинопироксенов различных пород комплекса, отраженных на диаграмме (рис. 3), устанавливается полное соответствие между ними. На основании этого можно заключить, что из всех оптических параметров угол оптических осей относительно четко отражает химический состав клинопироксенов и может служить в рамках данной вулканической серии показателем для предварительной оценки их химизма.

На диаграмме зависимости между оптическими свойствами и составом клинопироксенов по Х.Лессу /7/ и Дж.Мэриу /8/, при-

Таблица I

Оптические константы широксенов
Арагашского вулканического комплекса

№ обр.	Ромбические широксены				Моноклинные широксены		
	-2V	Ng'	Np'	+2V	cNg	Ng'	Np'
I	72	I,699	I,688	52	41	I,715	I,690
32	72	I,699	I,686	50	47	I,712	I,688
58	67	I,700	I,688	46	46	I,715	I,690
67	72	I,699	I,687	52	48	I,715	I,691
22	66	I,699	I,688	54	42	I,715	I,687
61	69	I,700	I,688	49	45	I,715	I,691
72	72	I,699	I,686	54	42	I,715	I,691
44	70	I,699	I,687	42	40	I,715	I,690
45	66	I,701	I,688	44	45	I,714	I,688
31	66	I,700	I,687	42	42	I,718	I,687
54	65	-	-	48	47	I,715	I,691
I3	64	-	-	48	47	I,716	I,688
I6	71	I,702	I,691	54	44	I,718	I,686
3	67	I,700	I,688	52	43	I,712	I,688
59	70	I,701	I,688	46	43	I,714	I,688
5	68	I,700	I,687	52	46	I,716	I,687
20	70	I,699	I,688	54	45	I,712	I,686
8	68	I,701	I,689	56	44	I,718	I,690
70	68	I,700	I,688	46	42	I,712	I,688
46	66	I,701	I,686	50	45	I,714	I,690
52	72	I,700	I,688	54	46	I,714	I,688
34	68	-	-	48	44	I,715	I,690
51	70	I,700	I,688	48	41	I,716	I,686
41	66	I,702	I,688	50	47	I,715	I,690
42	64	I,701	I,689	54	46	I,712	I,688
56	65	I,702	I,689	50	47	I,712	I,688

Примечание: обр. I - андезито-базальт (I этап), каньон р. Амберд, у с. Боракан, нижняя пачка; 32 - андезито-базальт (II этап), каньон р. Амберд, у с. Антарут, верхняя пачка; 58 - андезито-базальт (II этап), каньон р. Манташ, верхнее течение, нижняя пачка; 67 - андезито-базальт (IV этап), правый борт ущелья р. Ампур, лава вулкана Тирин-Катар; 22 - андезит (II этап), каньон р. Амберд у с. Дзоран; 61 - андезит (III этап), каньон р. Манташ, верхнее течение; 72 - андезит (III этап), ущелье р. Ампур, у г. Карап-даг (средний горизонт); 44 - андезит (III этап), западная вершина г. Арагаш, седьмой поток снизу со стороны кратера; 45 - андезит (III этап), западная вершина г. Арагаш, шестой поток снизу со стороны кратера; 31 - туфолава (I этап) каньон р. Амберд, у с. Боракан, нижний горизонт; 54 - андезито-дацит (I этап), ущелье р. Манташ, верхнее течение; 3 - андезито-дацит (II этап), каньон р. Амберд, севернее с. Антарут; 16 - андезито-дацит (II этап), каньон р. Касах у с. Алиагюх; 13 - андезито-дацит (II этап), западный склон массива г. Арагаш; 59 - андезито-дацит (II этап), ущелье р. Манташ, верхнее течение (р. н. водохранилища); 5 - туф (II этап), между о. с. Боракан,

записанной в книге У.А.Дюра и др. /1/, моноклинные клинопироксены Арагашского комплекса по своим оптическим константам отвечают агитам с колебанием главных компонентов Mg^{39-48} Ca^{37-48} Fe^{12-18} , что близко соответствует составам, полученным по химическим анализам. На рис. 2 иллюстрируется прямая зависимость оптических величин $2V$ и $C:\text{Mg}$ от кальциевости изученных клинопироксенов.

Таблица 2

Вариация оптических констант клинопироксенов разнотипных пород Арагашского вулканического комплекса

Клинопироксены	$2V$	$c\text{Mg}$	Mg'	Mg'
Андерзито-базальтов	46-52	41-48	1,712-1,715	1,686-1,691
Андерзитов	42-54	40-45	1,714-1,715	1,687-1,691
Андерзито-дацитов	42-56	40-48	1,712-1,718	1,686-1,690
Дацитов	48-54	41-47	1,712-1,716	1,686-1,690

Укажем, что положительная корреляционная связь между Ca и $2V$ в клинопироксенах из эффузивных пород установлена М.М.Веселовской /9/, Н.Л.Добропольским и др./3/ и др. Аналогичная зависимость обнаруживается между ионами Ca и $C:\text{Mg}$ (рис. 4) до значения $\text{Ca} 0,74$ на 6 атомов кислорода. Дальнейшее увеличение ионов Ca в клинопироксенах сопровождается постепенным уменьшением значения $C:\text{Mg}$, в результате чего кривая зависимости $C:\text{Mg}$ от Ca приобретает субсимметричную параболическую форму.

Известно, что на оптические свойства клинопироксенов, кроме главных катионов, по-разному влияет также высокое содержание таких второстепенных элементов, как Al и Ti /1,3,10/. Последние, в зависимости от занимаемой в структуре кристаллической решетки позиции могут быть причиной некоторого несоответствия

Антарут; 8 - андерзито-дацит (III этап), р-н с. Апаран; 70 - андерзито-дацит (III этап), верхний пояс вулкана Арагач, у оз. Карапич; 46 - андерзито-дацит (III этап), западная вершина г. Арагач, третий поток снизу; 20 - туф (III этап), каньон р. Касах у с. Оганаван; 52 - дацит (II этап), СВ склон г. Арагач (высота 2461 м); 51 - дацит (III этап), западный склон г. Арагач (верхушка); 41 - дацит (III этап), южная вершина г. Арагач (верхушка); 56 - туфолова (III этап) СЗ склон г. Арагач, у вулкана Арич; 34 - туфолова (III этап), ущелье р. Касах у деревни Аствацикал.

между оптическими величинами и химическим составом изученных клинопироксенов.

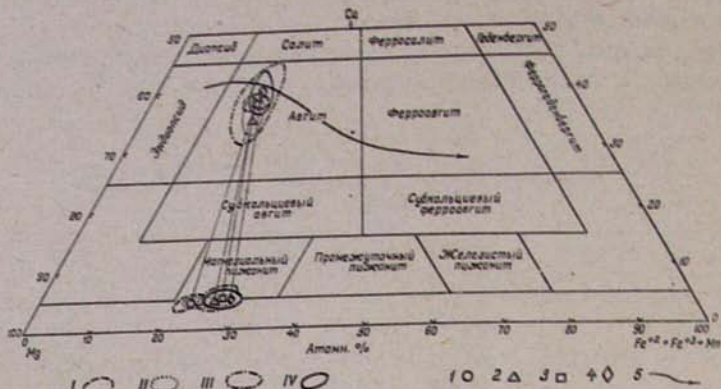


Рис. 3. Диаграмма Польдерваарта и Хесса, иллюстрирующая составы широксенов Арагацкого комплекса. I, II, III, IV - поля фигурационных точек пироксенов андезито-базальтов, андезитов, андезито-дацитов и дацитов соответственно. I, 2, 3, 4 - фигурационные точки средних составов пироксенов из различных пород соответственно. 5 - кривая кристаллизации пироксенов насыщенной базальтовой магмы по Польдерваарту и Хессу.

Особенности химизма

Для характеристики особенностей химизма проанализирована серия образцов (26 существующих пар) широксенов из различных пород и стратиграфических горизонтов Арагацкого комплекса, результаты которых сведены в табл. 3, 4, где приведены также кристаллохимические формулы в пересчете на 6 атомов кислорода и атомные соотношения главных компонентов обеих широксеноных фаз. Последние данные нанесены на четырехкомпонентную ($\text{CaMgSi}_2\text{O}_6$ - $\text{CaFeSi}_2\text{O}_6$ - $\text{Mg}_2\text{Si}_2\text{O}_6$ - $\text{Fe}_2\text{Si}_2\text{O}_6$) диаграмму А. Польдерваарта и Х. Хесса /II/, где они графически изображены в виде отдельных полей, представляющих ареалы составов широксенов из различных типов пород, и фигурационные точки, отражающие их средние составы (рис. 3).

Ортопироксены. По номенклатуре А. Польдерваарта /12/, также принятой У. А. Диором и соавторами /1/, И. В. Гинзбург

/13/ и Н.Л.Добринским и др. /3/, ортопироксены Арагацкого комплекса соответствуют бронзиту и частично гипертензу в изоморфном ряду $MgSiO_3$ - $FeSiO_3$. Содержание главных компонентов ортопироксенов варьирует в пределах Mg - 64,4-75,1%, Fe - 21,6-30,4%, Ca - 3,1-6,1%. Ортопироксены кислых пород обычно относятся к гипертензу, а основных - без исключения к бронзиту.

Ромбические пироксены различных типов пород на диаграмме (рис. 3) занимают примерно одинаковое положение близко к энотатитовому углу и от основных к кислым разностям, час-

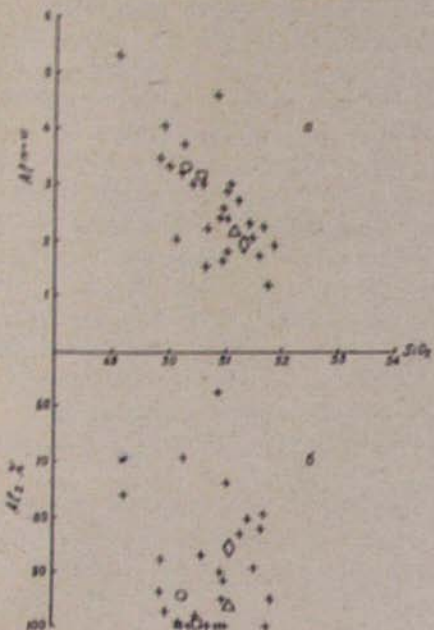


Рис. 4. Зависимость общей глиноземистости (поле а) и Al_2O_3 (поле б) от SiO_2 в клинопироксенах Арагацкого комплекса. Крестики на диаграмме представляют фигуративные точки клинопироксенов. Остальные условные знаки соответствуют тем же, что на рис. 3.

тически перекрывают друг друга, постепенно смещаясь к ферросилиловому углу. Таким образом, устанавливается закономерное изменение составов ромбических пироксенов Арагацкого комплекса, заключающееся в постепенном обогащении ферросилиловым компонентом (в среднем на 5,4%), от андезито-базальтов к дацитам.

Содержание кальция в ортопироксенах колеблется от 1,60 до 3,43 вес. % и лишь в некоторых образцах переваливает верхний предел (2,6 вес.%), установленный И.В.Гинзбург /13/ для ромбических широксенов. Однако, этот предел, судя по экспериментальным данным, полученным Д.Х.Грином и А.Э.Рингвудом /14/ для сосуществующих широксеновых пар должен быть несколько повышен (2,8 вес.%).

Болластонитовый компонент в ходе эволюции ортопироксенов от основных к кислым породам в общем проявляет слабую тенденцию возрастания (в среднем на 0,5%), что происходит за счет убывания энстатитовой составляющей.

Как видно из химических анализов ортопироксенов (табл.3), в их составе, кроме главных компонентов, в том или ином количестве присутствуют также примеси других – второстепенных по значению элементов (Ti, Al, Fe⁺³, Mn, Na, K), незначительное содержание которых обычное явление для реальных составов этих минералов. Из указанных компонентов наиболее важное значение имеет глиносем, распределение которого в сосуществующих парах закономерно и имеет петрологическое значение. Содержание Al₂O₃ в ортопироксенах варьирует от 0,68 до 2,56 вес.% в среднем составляя 1,53–1,73 вес.%. Среднее его содержание в ромбических широксенах различных типов пород комплекса почти одинаковое и никак-либо четких закономерностей в распределении глиносема в них не устанавливается. В структуре ортопироксенов катионы Al в основном группируются в четверной координации (группе Z), лишь небольшая часть его атомов входит в шестерную координацию (группу Y).

Сопоставление химизма ортопироксенов Арагашского комплекса с их оптическими данными, исходя из сформированных Н.Д. Добривым и др./3/ принципов позволяет предполагать следующий ряд изоморфных замещений: Fe → Mg; Al^{IV} → Si; Ca, Mn, Ti → Mg; Fe³⁺ → Al.

Клинопироксины. Из диаграммы рис. 3 видно, что изученные моноклинные широксены по номенклатуре А.Полдерваарта и Х.Хесса /1/, располагаются в поле авгита, ближе к его верхнему левому углу, что указывает на тяготение составов изученных авгитов к эндиопсид-салитам. По систематике, предложенной

Таблица 3

Химический состав и кристаллические формулы ромбических никексенов Арагашского вулканического комплекса

Компоненты	I	32	58	67	22
SiO ₂	53.05	53.53	52.53	52.28	52.00
TiO ₂	0.49	0.41	0.22	0.47	0.38
Al ₂ O ₃	2.05	1.35	1.65	1.64	1.27
Fe ₂ O ₃	3.72	ca.	2.88	2.18	2.08
FeO	11.52	13.53	13.25	13.10	15.70
MnO	0.28	0.44	0.45	0.32	0.31
MgO	26.20	27.39	25.37	26.32	23.70
CaO	2.21	1.69	2.52	2.52	2.22
Na ₂ O	0.16	0.22	0.30	0.25	0.28
K ₂ O	0.11	0.03	не обн.	не обн.	0.01
H ₂ O	-	не обн.	0.16	0.10	0.01
П.п.п.	0.72	0.95	0.79	0.86	1.23
Сумма	100.51	99.54	100.32	100.04	100.19

Количество ионов в пересчете на 6(0)

Z	[Si I.916	I.952	I.920	I.912	2.00
	[Al 0.084	0.048	0.071	0.071	-
Y	[Al 0.003	0.005	-	-	0.060
	[Ti 0.013	0.011	0.006	0.013	0.010
	[Fe ⁺³ 0.101	-	0.079	0.060	0.060
X	[Mg I.410	I.489	I.393	I.435	I.363
	[Fe ⁺² 0.348	0.413	0.405	0.401	0.539
	[Mn 0.008	0.014	0.014	0.010	0.010
W	[Ca 0.086	0.066	0.099	0.099	0.092
	[Na 0.011	0.015	0.021	0.021	0.020

Соотношения атомов

Mg	72.2	75.1	70.0	71.5	66.0
Fe	23.4	21.6	25.0	23.5	29.5
Ca	4.4	3.3	5.0	5.0	4.5
100 · Mg	75.5	77.7	73.7	75.3	69.1
Mg + Fe					

Продолжение таблицы 3

Компоненты	6I	72	44	45	3I
SiO ₂	52,22	51,76	52,51	52,00	53,36
TiO ₂	0,51	0,48	0,38	0,46	0,30
Al ₂ O ₃	1,15	1,15	1,70	2,38	2,04
Fe ₂ O ₃	2,12	0,10	1,50	1,54	2,89
FeO	14,83	14,40	15,26	15,84	13,54
MnO	0,62	0,63	0,31	0,23	0,32
MgO	25,49	26,85	25,26	24,18	25,00
CaO	2,03	3,43	2,25	2,42	1,65
Na ₂ O	сл.	0,25	0,25	0,25	0,24
K ₂ O	0,03	не обн.	-	-	-
H ₂ O	0,30	0,25	-	0,02	0,02
П. п. п.	0,88	0,72	0,75	0,88	0,92
Сумма	100,18	100,02	100,17	100,20	100,28

Количество ионов в пересчете на 6(0)

Z [Si	1,925	I. 920	I. 943	I. 915	I. 943
Z [Al	0,050	0,050	0,057	0,085	0,057
Y [Al	-	-	0,018	0,018	0,030
Y [Ti	0,014	0,013	0,011	0,013	0,008
X [Fe ⁺³	0,058	0,003	0,042	0,043	0,074
X [Mg ⁺²	I. 401	I. 485	I. 399	I. 327	I. 354
X [Fe ⁺²	0,457	0,447	0,412	0,488	0,411
X [Mn	0,019	0,020	0,010	0,007	0,010
W [Ca	0,080	0,092	0,089	0,096	0,064
W [Na	-	0,018	0,018	0,018	0,017

Соотношения атомов

Mg	69,5	72,5	71,7	67,7	70,6
Σ Fe	26,5	23,0	23,7	27,4	26,1
Ca	4,0	4,5	4,6	4,9	3,3
100 - Mg Mg + Σ Fe	72,8	76,0	75,1	71,2	73,0

Продолжение таблицы 3

Компо-ненты	54	13	16	3	59
SiO ₂	50,62	52,02	51,52	50,64	52,06
TiO ₂	0,54	0,58	0,48	0,55	0,38
Al ₂ O ₃	1,59	1,71	2,33	0,88	1,70
Fe ₂ O ₃	11,29	5,72	5,10	1,09	1,47
FeO	8,03	12,60	11,68	16,99	15,55
MnO	-	0,92	0,44	0,57	0,60
MgO	24,03	24,42	25,20	24,86	24,50
CaO	3,08	2,38	2,94	3,00	2,31
K ₂ O	0,40	0,30	0,30	0,30	0,42
H ₂ O ₂	0,15	0,15	0,15	-	-
П. п. п.	0,64	-	0,20	0,23	0,03
Сумма	100,37	100,80	100,32	100,03	100,14

Количество ионов в пересчете на 6(0)

Z [Si]	I,854	I,892	I,876	I,895	I,925
Z [Al]	0,069	0,073	0,100	0,039	0,074
Y [Al]	-	-	-	-	-
Y [Ti]	0,015	0,016	0,013	0,018	0,011
Y [Fe ⁺³]	0,311	0,156	0,140	0,031	0,041
X [Mg ⁺²]	I,311	I,324	I,368	I,367	I,350
X [Fe ⁺²]	0,246	0,383	0,356	0,532	0,480
X [Mn]	-	0,028	0,014	0,018	0,019
W [Ca]	0,121	0,093	0,115	0,120	0,091
W [Na]	0,028	0,021	0,021	0,022	0,030

Соотношения атомов

Mg	65,9	66,7	68,6	66,4	68,1
Fe	28,0	28,6	25,6	27,8	27,3
Ca	6,1	4,7	5,8	5,8	4,6
100 · Mg	70,7	70,0	72,8	70,3	71,4
Mg + Fe					

Продолжение таблицы 3

	5	20	8	70	46
SiO ₂	52,56	51,67	50,74	51,37	51,45
TiO ₂	0,52	0,87	0,52	0,42	0,45
Al ₂ O ₃	1,10	0,68	2,56	1,28	1,19
Fe ₂ O ₃	2,28	3,11	5,40	1,43	3,39
FeO	14,11	13,82	13,30	16,56	14,98
MnO	0,85	0,83	-	0,80	0,60
MgO	25,06	25,50	24,08	25,00	23,52
CaO	2,06	2,10	3,42	1,60	3,08
Na ₂ O	0,40	0,40	0,45	0,40	0,25
K ₂ O	с.н.	с.н.	0,22	не обн.	-
H ₂ O	0,17	0,26	-	0,08	-
П.п.п.	0,98	0,48	-	1,37	1,22
Сумма	100,09	99,72	100,69	100,31	100,13

Количество ионов в пересчете на 6(0)

z	[Si	I,936	I,910	I,868	I,905	I,916
	[Al	0,047	0,030	0,033	0,056	0,052
	[Al	-	-	-	-	-
y	[Ti	0,014	0,024	0,014	0,012	0,012
	[Fe+3	0,063	0,087	0,150	0,041	0,095
x	[Mg+2	I,376	I,405	I,322	I,398	I,305
	[Fe	0,435	0,427	0,410	0,520	0,466
	[Mn	0,027	0,026	-	0,025	0,019
w	[Ca	0,081	0,083	0,095	0,064	0,123
	[Na	0,029	0,029	0,032	0,029	0,017

Соотношение атомов

Mg	69,4	69,3	66,9	68,3	65,0
Σ Fe	26,5	26,6	28,3	28,6	28,9
Ca	4,1	4,1	4,8	3,1	6,1
100 · Mg	72,4	72,2	70,2	70,9	69,2
Mg + Σ Fe	-	-	-	-	-

Продолжение таблицы 3

	52	34	51	41	42
SiO ₂	53,04	52,30	53,16	52,15	52,12
TiO ₂	0,38	0,32	0,40	0,34	0,45
Al ₂ O ₃	2,21	2,04	1,70	0,72	1,70
Fe ₂ O ₃	1,01	0,96	1,66	1,35	0,96
FeO	14,69	17,57	14,40	17,32	17,56
MnO	0,23	0,58	0,60	0,84	0,60
MgO	24,50	23,04	24,08	23,57	22,83
CaO	2,42	2,32	2,86	1,92	2,36
Na ₂ O	0,40	0,20	0,30	0,04	0,34
K ₂ O	-	-	-	0,03	0,01
H ₂ O	-	0,01	0,02	0,22	0,03
П.п.п.	I,20	0,84	I,12	I,37	I,15
Сумма	100,08	100,18	100,30	99,87	100,11

Количество ионов в пересчете на 6(0)

Z	[Si I,944	I,938	I,949	I,955	I,938
	[Al 0,056	0,062	0,051	0,032	0,062
	[Al 0,040	0,027	0,023	-	0,013
Y	[Ti ⁺³ 0,010	0,009	0,011	0,010	0,013
	[Pe 0,028	0,027	0,046	0,036	0,027
X	[Mg ⁺² I,338	I,272	I,316	I,317	I,265
	[Pe 0,450	0,544	0,442	0,543	0,546
	[Mn 0,007	0,018	0,018	0,027	0,019
W	[Ca 0,095	0,092	0,112	0,077	0,105
	[Na 0,028	0,014	0,021	0,003	0,025

Соотношение атомов

Mg	69,8	65,1	68,0	65,8	64,5
Fe	25,3	30,2	26,2	30,4	30,2
Ca	4,9	4,7	5,8	3,8	5,3
100·Mg	73,4	68,4	72,2	68,4	68,1
Mg+Fe					

	56	АБ	А	АД	Д
SiO ₂	52,32	52,85	52,10	51,64	52,51
TiO ₂	0,56	0,40	0,44	0,52	0,41
Al ₂ O ₃	2,02	1,67	1,53	1,55	1,73
Fe ₂ O ₃	8,51	2,20	1,47	3,92	2,41
FeO	10,50	12,85	15,41	13,74	15,34
MnO	0,74	0,37	0,42	0,54	0,60
MgO	23,06	26,37	25,10	24,66	23,50
CaO	2,52	2,23	2,48	2,51	2,40
Na ₂ O	0,22	0,23	0,21	0,35	0,25
K ₂ O	0,18	0,03	0,01	0,06	0,04
H ₂ O	-	0,06	0,12	0,15	0,05
П.п.п.	-	0,83	0,89	0,63	0,95
Сумма	100,63	100,09	100,18	100,27	100,19

Количество ионов в пересчете на 6(0)

Z	[Si] Al	1,899 0,086	1,925 0,072	1,921 0,066	1,902 0,067	1,937 0,063
Y	[Al] T ₁	- 0,015	- 0,011	- 0,012	- 0,014	- 0,012
	[Fe] ⁺³ Fe	0,232	0,060	0,041	0,108	0,017
X	[Mg] ⁺² Fe ⁺²	1,247 0,319	1,432 0,391	1,379 0,475	1,353 0,423	1,294 0,473
	Mn	0,023	0,011	0,013	0,017	0,019
W	[Ca] Na	0,098 0,015	0,087 0,016	0,098 0,015	0,099 0,025	0,098 0,018

Соотношение атомов

Mg	65,0	72,3	68,7	67,7	66,4
ΣFe	29,9	23,3	26,4	27,4	28,7
Ca	5,1	4,4	4,9	4,9	4,9
$100 \cdot Mg / (\Sigma Fe)$	68,5	75,6	72,3	71,2	69,8

Примечание: номера образцов те же, что и в таблице I. Анализы выполнены в лаборатории ИГН АН АрмССР аналитиками Л.А.Оганисян, З.Ш.Гаспарян, В.А.Бабаян и ИГУМ АН Укр.ССР - аналитиками Л.М.Гонедзинской и Г.А.Скрибоник.

Таблица 4
 Химический состав и кристаллические формулы
 моноклинных пироксенов Араганского вулканического
 комплекса

Компо- ненты	I	32	58	67	22
SiO ₂	49,90	50,42	50,18	50,60	50,90
TiO ₂	0,66	0,11	0,58	0,89	0,52
Al ₂ O ₃	4,00	3,00	3,23	3,00	2,38
Fe ₂ O ₃	3,49	3,30	4,45	1,98	1,79
FeO	6,22	6,22	7,70	6,91	8,64
MnO	0,28	0,29	0,20	0,26	0,25
MgO	16,11	17,03	15,69	16,56	17,55
CaO	19,29	19,48	18,06	18,55	16,94
Na ₂ O	0,30	0,50	0,60	0,56	0,45
K ₂ O	-	0,04	0,15	не обн.	ca.
H ₂ O	-	-	-	0,06	0,01
Н.п.п.	0,30	0,30	-	0,66	0,66
Сумма	100,62	100,69	100,84	99,97	100,19

Количество ионов в пересчете на 6(0)

Z [Si	1,845	1,865	1,860	1,885	1,888
Z [Al	0,155	0,131	0,140	0,115	0,104
Y [Al	0,021	-	0,001	0,017	-
Y [Ti	0,018	0,003	0,016	0,025	0,020
X [Fe ⁺³	0,097	0,092	0,124	0,055	0,050
X [Mg ⁺²	0,888	0,939	0,866	0,919	0,992
X [Fe ⁺²	0,192	0,192	0,239	0,215	0,268
W [Mn	0,009	0,009	0,006	0,008	0,010
W [Ca	0,764	0,772	0,717	0,740	0,673
W [Na	0,021	0,036	0,043	0,036	0,034

Соотношение атомов

Mg	45,5	46,9	44,6	47,4	49,8
Σ Fe	15,3	14,6	18,5	14,4	16,4
Ca	39,2	38,5	36,9	38,2	33,8
f	0,25	0,24	0,29	0,23	0,25

Продолжение таблицы 4

	61	72	44	45	31
SiO ₂	50,68	50,97	51,45	51,70	51,00
TiO ₂	0,72	0,77	0,54	0,49	0,65
Al ₂ O ₃	2,21	1,64	2,32	2,26	2,89
Fe ₂ O ₃	3,11	1,66	2,98	2,37	2,52
FeO	6,91	7,20	7,48	8,04	7,49
MnO	0,41	0,43	0,38	0,38	0,20
MgO	16,05	16,54	17,11	17,20	18,50
CaO	18,43	19,12	15,96	16,20	15,67
Na ₂ O	0,57	0,50	0,60	0,60	0,70
K ₂ O	0,03	не обн.	0,01	0,01	0,01
H ₂ O	0,26	0,09	0,05	0,04	0,01
П.п.п.	0,81	0,62	1,08	1,11	0,60
Сумма	100,19	99,54	99,96	100,40	100,24

Количество ионов в пересчете на 6(0)

Z [Si]	1,896	1,911	1,918	1,921	1,884
Z [Al]	0,098	0,073	0,082	0,079	0,116
Y [Al]	-	-	0,020	0,020	0,010
Y [Ti +3]	0,020	0,022	0,015	0,014	0,018
Y [Fe +3]	0,088	0,047	0,063	0,066	0,070
X [Mg +2]	0,896	0,926	0,951	0,953	1,019
X [Fe +2]	0,216	0,226	0,233	0,250	0,231
X [Mn]	0,013	0,014	0,012	0,012	0,006
W [Ca]	0,740	0,770	0,638	0,645	0,620
W [Na]	0,041	0,037	0,043	0,043	0,050

Соотношение атомов

Mg	45,9	46,7	49,6	49,5	52,4
Σ Fe	16,2	14,5	17,1	17,0	15,8
Ca	37,9	38,8	33,3	33,5	31,8
f	0,26	0,27	0,26	0,26	0,23

Продолжение таблицы 4

	54	13	16	3	59
SiO ₂	50.86	50.00	49.20	50.24	51.82
TiO ₂	0.58	0.09	0.09	0.89	0.51
Al ₂ O ₃	4.62	3.34	5.29	2.02	1.90
Fe ₂ O ₃	3.43	4.45	2.09	3.06	2.82
FeO	7.00	6.21	6.90	7.49	6.76
MnO	0.32	0.43	0.36	0.38	0.40
MgO	15.40	15.20	15.65	14.30	16.90
CaO	15.04	20.10	20.32	19.96	17.80
Na ₂ O	0.70	0.60	0.60	0.60	0.58
K ₂ O	0.15	0.09	0.09	не обн.	0.06
H ₂ O	-	-	0.10	0.21	не обн.
Л. п. п.	0.06	0.15	0.20	0.71	0.74
Сумма	99.18	100.66	100.89	99.88	100.29

Количество единов в пересчете на 6(0)

Z [Si]	1.884	1.858	1.824	1.899	1.921
Z [Al]	0.116	0.142	0.176	0.090	0.079
Y [Al]	0.086	0.004	0.055	-	0.004
Y [Ti]	0.016	0.002	0.002	0.025	0.014
Y [Fe ⁺³]	0.100	0.124	0.058	0.087	0.080
X [Mg]	0.905	0.842	0.859	0.805	0.934
X [Fe ⁺²]	0.217	0.193	0.214	0.237	0.210
X [Mn]	0.010	0.014	0.011	0.012	0.012
X [Ca]	0.597	0.801	0.807	0.809	0.707
X [Na]	0.050	0.043	0.043	0.044	0.042

Соотношение атомов

Mg	49.5	42.6	44.1	41.3	48.1
Fe	17.9	16.8	14.5	17.2	15.5
Ca	32.6	40.6	41.4	41.5	36.4
f	0.27	0.28	0.25	0.29	0.24

Продолжение таблицы 4

	5	20	8	70	46
SiO ₂	51,08	49,85	50,26	50,68	50,96
TiO ₂	0,81	0,66	0,62	0,64	0,30
Al ₂ O ₃	3,02	3,47	3,70	1,52	2,55
Fe ₂ O ₃	1,78	3,08	3,20	1,45	3,48
FeO	6,04	6,59	6,20	6,62	6,91
MnO	0,43	0,28	0,38	0,60	0,20
MgO	16,21	15,06	13,45	18,26	15,80
CaO	18,89	20,72	20,58	18,78	18,70
Na ₂ O	0,70	0,32	0,70	0,50	0,71
K ₂ O	0,17	0,17	0,20	не обн.	-
H ₂ O-	0,21	-	0,56	0,10	-
П.п.п.	0,54	0,20	0,12	0,51	0,29
Сумма	99,71	100,47	99,97	99,66	99,90

Количество ионов в пересчете на 6(0)

Z [Si	1,902	1,858	1,886	1,894	1,899
Z [Al	0,098	0,142	0,114	0,067	0,101
Z [Al	0,034	0,010	0,050	-	0,011
Y [Ti ⁺³	0,023	0,018	0,018	0,018	0,008
Y [Fe ⁺³	0,050	0,086	0,090	0,041	0,098
X [Mg ⁺²	0,899	0,836	0,752	1,017	0,877
X [Fe ⁺²	0,188	0,205	0,195	0,207	0,215
X [Mn	0,011	0,009	0,012	0,019	0,006
W [Ca	0,754	0,827	0,827	0,752	0,747
W [Na	0,051	0,023	0,051	0,036	0,051

Количество ионов в пересчете на 6(0)

Mg	47,3	42,6	40,1	50,0	45,1
Σ Fe	13,1	15,3	15,8	13,1	16,4
Ca	39,6	42,1	44,1	36,9	38,5
f	0,22	0,26	0,28	0,21	0,27

Продолжение таблицы 4

	52	34	51	41	42
SiO ₂	51.04	51.26	51.52	51.75	51.60
TiO ₂	0.59	0.59	0.55	0.40	0.52
Al ₂ O ₃	1.77	2.72	2.04	1.21	1.70
Fe ₂ O ₃	2.44	3.01	2.74	3.01	2.27
FeO	6.48	6.34	6.39	7.63	7.20
MnO	0.45	0.34	0.22	0.38	0.46
MgO	14.77	16.26	15.45	16.33	14.85
CaO	20.92	18.59	19.20	18.00	19.56
Na ₂ O	0.58	0.70	0.61	0.60	0.60
K ₂ O	0.06	-	0.06	0.01	0.18
H ₂ O	не обн.	0.01	не обн.	0.03	0.36
П.п.п.	0.65	0.49	0.69	1.00	0.56
Сумма	100.16	100.31	100.21	100.35	100.36

Количество ионов в пересчете на 6(0)

z [Si]	1.917	1.898	1.920	1.933	1.938
Al	0.079	0.102	0.080	0.053	0.062
Y [Al]	-	0.017	0.009	-	0.013
Ti	0.019	0.016	0.015	0.011	0.015
Fe ⁺³	0.068	0.084	0.077	0.085	0.064
X [Mg]	0.826	0.897	0.858	0.909	0.831
Fe ⁺²	0.204	0.196	0.199	0.238	0.226
Mn	0.014	0.011	0.026	0.012	0.014
W [Ca]	0.842	0.738	0.767	0.720	0.791
Na	0.042	0.050	0.059	0.043	0.044

Соотношение атомов

Mg	42.2	46.6	44.5	46.3	43.1
Σ Fe	14.7	15.1	15.7	17.0	15.8
Ca	43.1	38.3	39.8	36.7	41.1
r	0.26	0.25	0.26	0.27	0.27

Продолжение таблицы 4

	56	АБ	А	АД	Д
SiO ₂	51,00	50,28	51,14	50,54	51,31
TiO ₂	0,54	0,56	0,63	0,53	0,55
Al ₂ O ₃	2,40	3,32	2,16	3,12	1,97
Fe ₂ O ₃	3,63	3,30	2,38	2,85	2,85
FeO	6,57	6,76	7,65	6,75	6,77
MnO	0,46	0,26	0,37	0,36	0,48
MgO	15,40	16,35	16,89	15,98	15,51
CaO	19,00	18,85	17,33	18,78	19,23
K ₂ O	0,70	0,48	0,54	0,61	0,66
K ₂ O	0,11	0,05	0,01	0,07	0,07
H ₂ O	0,72	0,01	0,09	0,11	0,19
H ₂ O	0,16	0,32	0,86	0,38	0,66
П.п.п.	100,69	100,54	100,05	100,08	100,25
Сумма					

Количество ионов в пересчете на 6(0)

Z [Si]	1,900	1,863	1,909	1,882	1,914
Z [Al]	0,100	0,137	0,091	0,118	0,086
Z [Al]	0,005	0,008	0,004	0,019	0,001
Y [Ti ⁺³]	0,015	0,016	0,018	0,015	0,015
Y [Fe]	0,102	0,092	0,067	0,080	0,080
X [Mg ⁺²]	0,855	0,903	0,940	0,897	0,862
X [Fe]	0,205	0,209	0,239	0,210	0,211
X [Mn]	0,015	0,008	0,012	0,011	0,015
W [Ca]	0,759	0,748	0,693	0,750	0,780
W [Na]	0,051	0,034	0,039	0,044	0,047

Соотношение атомов

Mg	44,2	46,1	48,2	45,8	44,3
Σ Fe	16,6	15,7	16,3	15,5	15,7
Ca	39,2	38,2	35,5	38,7	40,0
f	0,27	0,25	0,25	0,25	0,26

Примечание: номера образцов те же что и в табл. I. Анализы выполнены в лаборатории ИЦН АН АрмССР аналитиками Л.А.Огенисиани, З.Ш.Гаспарян, В.А.Бабаян и ИЧМ АН Укр.ССР – аналитиками – Л.М.Гонедзинской и Г.А.Скрибник.

И.В.Гинзбург /13/, изученные клинопироксены относятся к собственно амгитам, а по Н.Л.Добрцову и др./3/ - к субакальциевым амгитам, с содержанием главных компонентов в пределах

$Mg_{40,1-52,5}$ $Ca_{31,8-44,1}$ $Fe_{13,1-18,5}$. Существенных различий в составе клинопироксенов в однотипных породах разных этапов не наблюдается. Вариации их составов определяются кремнистостью и магнезиальностью имеющихся пород. Клинопироксены основных пород комплекса отличаются сравнительно небольшими вариациями состава главных компонентов, что графически хорошо отражается на диаграмме. Относительно большой контраст составов проявляют амгиты андезитов, андезито-дацитов и дацитов, поля роз которых на диаграмме значительно удалены одно от другого. В то же время на небольшом участке, соответствующем полям амгитов основных пород, они несколько перекрывают друг друга. Амгиты андезито-дацитов характеризуются относительно большей вариацией содержания главных компонентов, однако средний их состав мало отличается от такового крайних членов вулканического комплекса. В среднем наибольшей магнезиальностью отличаются амгиты андезитов. Точка, изображающая средний состав клинопироксенов этих пород на диаграмме занимает несколько обособленное положение, тяготея, в общем, к магнезиальному ее углу. Из диаграммы явствует также, что амгитовый тренд в изученном комплексе в целом вытянут субпараллельно магнезиально-кальциевой стороне трапеции, что может указывать на более широкое изоморфное замещение катионов магния и извести при относительно постоянном содержании ферросилиловых молекул. На рис. 4а, отражающей зависимость Al_2O_3 от SiO_2 в клинопироксенах изученного комплекса четко видна обратная пропорциональность между содержаниями этих двух элементов.

Как известно, Al в кристаллической решетке пироксенов обычно играет двойную роль. Количество ионов Al в структуре изученных амгитов находится в соответствии с количеством ионов Si, что отражается на рис. 4б. Рассмотрение диаграммы показывает, что основная часть ионов Al (подобно Al^{IV} в ортопироксенах) имеет тетраэдрическую координацию, и что она находится в обратной зависимости от ионов Si. Лишь незначительная часть Al входит в октаэдрическую позицию вместе с другими ионами R^{+3} .

По результатам статистических исследований /3,15,16/ выясняется, что пропорция ионов Al в четверной координации кристаллической решетки клиношироксенов имеет петрогенетическое значение и может стать индикатором степени насыщенности SiO_2 исходной базальтовой магмы. Н.Л.Добрецов и др. /3/ считают, что в ассоциациях недосыщенных SiO_2 ортопироксены и клиношироксены богаче Al, т.к. чермакит ($\text{CaAl}_2\text{SiO}_6$) можно рассматривать как недосыщенный аналог анортита.

На диаграмме (рис. 5), построенной по данным М.Ле Баса /15/ и Я.Куширо /17/, частично Н.Л.Добрецова и др. /3/ и отражающей вариацию содержания Si и Al в клиношироксенах из различных формационных типов пород, нанесены точки составов изученных клиношироксенов. Из диаграммы видно, что фигуративные точки клиношироксенов Арагацкого комплекса, располагаясь в пределах поля клиношироксенов "орогенных андезитовых формаций", выделенных Н.Л.Добрецовым и др., ложатся в основном на "линию насыщенности" тетраэдрической позиции, или близко подходит к ней. Лишь некоторые точки, соответствующие клиношироксенам кислых пород, заметно смещены в обе стороны от указанной линии, проявляя обратные соотношения ионов Si и Al. Однако, как явствует из диаграммы рис.5, точки средних составов клиношироксенов различных пород указанного комплекса ложатся на вышеуказанную линию, что означает насыщенность тетраэдрической позиции ионами Si и Al.

Некоторые детали химизма изученных авгитов иллюстрируют диаграмма (рис. 6), отражающая зависимость между железистостью и кальциевостью клиношироксенов с одной стороны и железистостью и содержанием Al^{IV} (Ca - Al чермакита) с другой, построенная по принципу Добрецова и др./3/. На этой диаграмме ясно, что вариации коэффициента железистости (f) очень невелики, тогда как вариации Ca - Al чермакита и волластонита обнаруживают значительный диапазон, причем относительно больший контраст по содержанию волластонитового компонента обнаруживают авгиты андезитов и андезито-дацитов. Авгиты андезито-базальтов и андезито-дацитов содержат почти одинаковое количество волластонитового компонента и близки по содержанию Ca-Al чермакита. Авгиты андезитов и дацитов резко отличаются по содержанию Ca, причем в первых наименьшее, во-вторых, наоборот, наибольшее. Вместе с

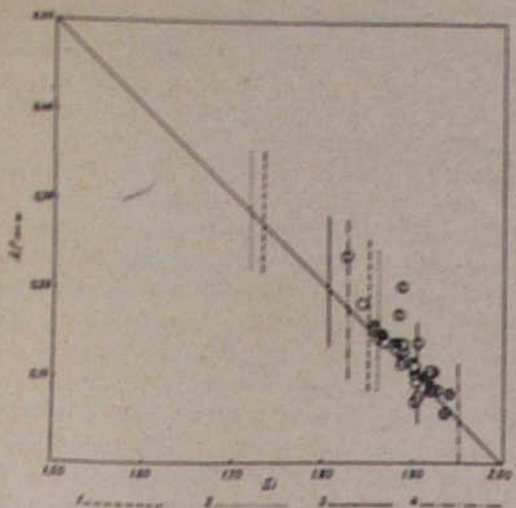


Рис.5. Соотношение атомов Si и $\text{Al}^{\text{IV+VI}}$ в клинопироксенах Араганского комплекса.
Поля клинопироксенов: 1 - щелочных пород без фельдшпатоидов (по Кузиро и Ле Басу), 2 - континентальной оливин-базальтовой формации, 3 - склонической оливин-базальтовой формации, 4 - орогеновых андезитовых формаций (2-4 по Собрецову и др.).
Усл. знаки те же, что и на рис. 1 и 3.

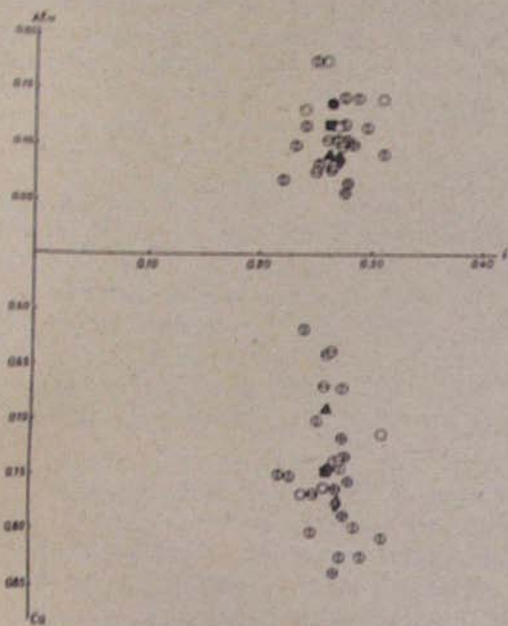


Рис. 6. Зависимость между содержанием Ca-Al чермакита, волластонита и жалеизостиги в клинопироксенах Араганского комплекса.
Усл. знаки соответствуют таковым на рис. 5.

тем по содержанию Ca-Al чермакита они почти не отличаются и в целом содержат меньше этого компонента, чем авгиты основных пород и андезито-дацитов.

Для изучения характера изоморфных замещений в моноклинных широксенах Арагацкого вулканического комплекса использован статистический метод главных компонентов /17/. Расчеты выполнены по программе ВСЕГЕИ "факторный анализ" в лаборатории математических методов ИГН АН Армянской ССР. Полученные результаты показывают, что ведущим трендом (I фактор) изменчивости клинопироксенов изученного комплекса является авгитовое замещение $Mg_7Si_7Fe^{+2}_6 \longleftrightarrow Ca_8Al_7Fe^{+3}_5$ отвечающее гетеровалентным замещениям в тетраэдрической и октаэдрической позициях. Формула второго фактора имеет вид $Fe^{+3}Al_4Na_3Mg \longleftrightarrow Ti_7Ca_6$. Этот тренд отвечает сопутствующим замещениям шестерной позиции и крупном полигидре (восьмерная координация). Установленный тренд свойственен высокомагнезиальным малоалезистым клинопироксенам натриево-калиевых ассоциаций вулканитов. Для изученной серии характерна обратная корреляция между Ca-Al чермакитом и Fe^{+2} , т.е. за счет возрастания Fe^{+2} происходит объединение клинопироксенов Ca-Al чермакитом, что особенно заметно при переходе от основных пород к среднекислым.

Рентгенометрические данные.

Для изучения структурных особенностей широксенона Арагацкого комплекса и сопоставления их с химизмом проведены рентгенометрические исследования восьми образцов (по четыре из каждой фазы) в рентгеноструктурной лаборатории ИГН АН Армянской ССР аналитиком Э.Х.Хуршудян. Образцы сняты на дифрактометре УРС-50 ИМ на железном излучении при режиме на трубке 25 кв, 10 ма. Рентгенограммы сняты при скорости сканирования 2° в минуту, а для расчета параметров и содержания энстатитовой молекулы - 1° в минуту.

Ортошироксены. Рентгенометрические данные ромбических широксенона приведены в табл.5. Ортошироксены, диагностированные по методу, предложенному Л.С.Звааном /18/ по разнице межплоскостных отношений (Δd) линий (10.31) и (060) относятся к бронзиту (обр.№ 70 - к энстатиту) с колебанием

энстититового компонента от 72 до 81 %. Аномально высокое содержание энстититовой молекулы получено только для обр. № 70. Необходимо отметить, что содержание энстититовой молекулы, полученной по рентгеновским параметрам, всегда несколько занижено по сравнению с таевой, полученной по результатам химических анализов.

Клинопироксены. Для диагностирования использованы интенсивные рефлексы (221), (310), (311), (131), изолированный и сильный рефлекс (531), а также сильная пара рефлексов (260) и (531). Параметры " \bar{v} " и $a \cdot \sin \beta$ по линиям (510) и (150) и по линии (060) рассчитаны по номограмме, предложенной Е.П.Соколовой и др./19/. Поправка введена по NaCl.

По классификации, предложенной П.С.Звягином /18/ все клинопироксены входят в группу B_1 и относятся к авгитам и эндопироксидам (обр. № 1). Величины параметров " \bar{v} " и $a \cdot \sin \beta$, приведенные в табл. 5 обнаруживают значительные вариации. В той же таблице приведены составы пироксенов, рассчитанные с помощью диаграмм, построенных К.М.Брауном /20/ и К.Висванатаном /21/ по величине параметров " \bar{v} " и $a \cdot \sin \beta$, а также моль % главных компонентов, рассчитанных по результатам химических анализов. Сравнение данных таблицы указывает на значительное расхождение по содержанию энстититового и ферросилилового компонентов, тогда как по вольластонитовому компоненту получаются в основном удовлетворительные результаты. Укажем, что вышеупомянутыми авторами при составлении диаграммы не были учтены более высокие (выше 2-3%) содержания второстепенных компонентов - окислов

Fe^{+3} , Al, Ti, Na и др., первые два из которых содержатся в изученных нами образцах клинопироксенов в несколько повышенном количестве и могли стать причиной указанных расхождений. В работах У.А.Дира и др. /1/ и Н.Виткича /22/ указывается на то, что из примесей второстепенных элементов наибольшее влияние на величину параметров " \bar{v} " и $a \cdot \sin \beta$ имеет алюминий ($Al^{IV} + Al^{VI}$). Это подтверждается и на примере проведенного нами изучения клинопироксенов, о чем свидетельствует построенная нами диаграмма (рис. 7), иллюстрирующая обратную зависимость между параметром " \bar{v} " и общей глиноземистостью.

Постоянное увеличение параметра " \bar{v} " в связи с уменьшением содержания глинозема в клинопироксенах от основных к кислым

Таблица 5

Рентгенометрические данные и состав пироксенов
различных пород Арагацкого вулканического комплекса

Обр.	Моноклинные пироксены					Ромбические пироксены				
	Параметры	Состав по рент. данным	Состав по хим. анализам		Параметры	Сост. по рент. данным	Сост. по хим. анализам			
	b	$a \sin \beta$	E _n	W _o	F _s	E _n	W _o	F _s	$\Delta d (\text{\AA})$	E _n
I	8,904	9,354	51	44	5	45,5	39,2	15,3	0,012	81
45	8,914	9,317	52	35	13	49,5	33,5	17,0	0,014	72-75
58	8,910	9,322	52	38	10	44,6	36,9	18,5	0,014	74-75
70	8,924	9,365	44	43	13	50,0	46,9	13,1	0,015	95

Примечание: номера образцов соответствуют таковым на рис. 7

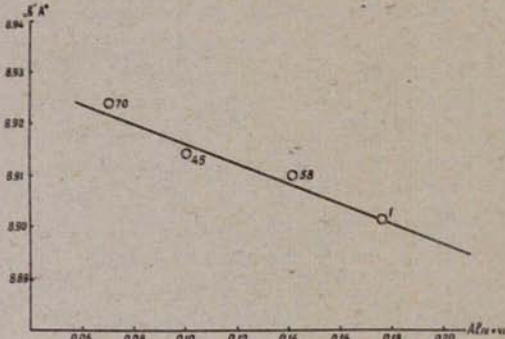


Рис. 7. Зависимость параметра "b" от общей глиноземистости в клиношироксенах Арагацкого комплекса. Номера кружков соответствуют таковым в табл. I.

породам подтверждает гетеровалентное изоморфное замещение типа
 $Mg^{+2} \rightarrow Al^{+3}$. На диаграммах рис. 8 удаляется
 прямолинейная зависимость между параметром $a \cdot \sin \delta$ (а) и
 "в" (б) и ферросилиловым компонентом в изученных клинопиро-
 ксенах. Более крутой наклон линии вариации $a \cdot \sin \delta$ по сравне-
 нию с "в" определяется более сильным взаимным замещением
 $Mg \rightarrow Ca$, чем $Mg \rightarrow Fe^{+2}$.

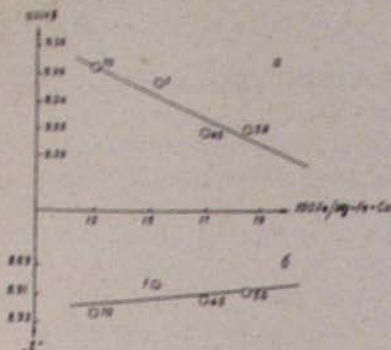


Рис. 8. Зависимость па-
 метров $a \cdot \sin \delta$ и "в" от
 железистости в клинопиро-
 ксенах Арагацкого комплек-
 са. Номера кружков те же,
 что и в табл. I.

Завершая рассмотрение оптических свойств, химизма и рент-
 генометрических данных для пироксенов Арагацкого комплекса,
 подчеркнем следующие закономерности:

1. Как для ортопироксенов, так и клинопироксенов характер-
 ная устойчивость состава, вариации в сравнительно узких преде-
 лах и принадлежность к магнезиальным членам соответствующих
 изоморфных рядов. В возрастной последовательности заметной из-
 менчивости их составов не наблюдается. Установливаемые разли-
 чия связанны с переходом от андезито-базальтов к андезитам и
 далее к кислым разностям.

2. Вариации в ряду ортопироксенов в указанном направлении
 состоят в закономерном возрастании ферросилилового компонента
 (от 22,3 до 31,9%) и в переходе от бронзита к магнезиальному
 гиперстену.

3. Изученные клинопироксены по химизму близки, имеют альги-
 товый состав, несколько смещенный к полу эндюпсида. Вариации
 их составов в том же направлении от основных пород к кислым,

во-первых, приобретают большой размах и, во-вторых, связаны с изменчивостью содержания Ca - Al чермакитового и волластонитового компонентов при почти постоянной железистости.

4. Ведущий тренд клинопироксенов изученного комплекса альбитовый ($\text{Si}, \text{Mg}, \text{Fe}^{+2} \longleftrightarrow \text{Al}, \text{Ca}, \text{Fe}^{+3}$), свойственный высокомагнезиальным, маложелезистым клинопироксенам натриево-калиевых ассоциаций вулканов.

Л И Т Е Р А Т У Р А

1. Дир У.А., Хаун Р.А., Зусман Дж. - Породообразующие минералы, т.2, Изд. "Мир", М., 1965.
2. Hess H.H. - Orthopyroxenes of the Bushveld type, ion substitutions and changes in unit cell dimensions. Amer.J.Sc., 250, Р. I., 1952.
3. Добрецов Н.Л., Кочкин Ю.Н., Кривенко А.П., Кутолин В.А. Породообразующие пироксены. Изд. "Наука", М., 1971.
4. Добрецов Н.Л. О взаимосвязи между главными ионами ромбических пироксенов и их влиянии на оптические свойства минерала. Зап. ВМО, сер. II, ч. 88, вып. 6, Изд. АН СССР, М.-Л., 1959.
5. Henriques A. - The influence of cations on the optical properties of orthopyroxenes. Arkiv Min., Geol., 2, 1958.
6. Hori F. - Effects of constituent cations on the refractive indices of orthopyroxenes. Jap. Mineral.j., 1, 1956.
7. Hess H.H. - Chemical composition and optical properties of common clinopyroxenes. Amer. Mineral., 34, N 9-10, 1949.
8. Muir I.D. - The clinopyroxenes of the Skaergaard intrusion, eastern Greenland. Min. Mag., 29, N 214, 1951.
9. Веселовская М.М. Химико-минералогические исследования в области пироксенов диопсид-альбитового ряда. Тр.ИГН АН СССР, петрографическая серия, вып. 86, 1950.
10. Hori F. - Effects of constituent cations on the optical properties of clinopyroxenes. Univ. Coll. Cen. Educ., Sci., Papers, 4, Tokyo, 1954.
- II. Poldervaart A., Hess H.H. - Pyroxenes in the crystallization of basaltic magma. Journ. Geol., 59, N 5, 1951.

12. Polderwaert A. - The relationship of orthopyroxenes to pigeonite. Min.Mag., 28, 1947.
13. Гимзбург И.В. Обзор систематики пироксенов. В сб.: "Минералы базитов в связи с вопросами петрогенезиса". Изд."Наука", М., 1970.
14. Грин Д.Л., Рингнуд А.З. и др. Петрология верхней мантии. Изд. "Мир", М., 1968.
15. Le Bas M.I. - The role of aluminium in igneous clinopyroxenes with relation to their parentage. Amer.Journ.Sci., v.260, N 4, 1962.
16. Kushiro I. - Si-Al relation in clinopyroxenes from igneous rocks. Amer.Journ.Sci., v.258, N 8, 1960.
17. Дуденко Л.Н., Центнер И.Н., Румянцева Н.А., Марковский Б.А., Поронин Е.Е. Типы трендов и изоморфных замещений в альбитах вулканических ассоциаций. Зап. ВМО, ч. СVI, вып.4, 1977.
18. Zwaan P.C. - On the determination of pyroxene by X-ray powder diagrams. Leidse Geologische Mededelingen. v.19, 1955.
19. Соколова Е.Н., Елан Г.Х., Орлова М.П. Типоморфные особенности клинопироксенов пород щелочно-габроидной формации (на примере Алданского комплекса). В сб.: "Минералы и парагенезис минералов горных пород и руд". Изд."Наука", Л., 1979.
20. Brown G.M. - The effect of iron substitution on the unit cell dimensions of the common clinopyroxenes. Amer.Min., 45, 1960
21. Viswanathan K. - Unit cell dimensions and ionic substitutions in clinopyroxenes. Amer.Min., 51, N 3-4, 1966.
22. Witkind I.I. - Clinopyroxenes from acidic, intermediate, and basic rocks, Little Belt Mountains, Montana. Amer.Min., v.54, N 7-8, 1969.